

《基础物理实验》预习报告

实验名称 RLC 电路的谐振与暂态过程 指导教师 黄金浩
姓名 张钰堃 学号 2022k8009926020 分班分组及座号 2 - 08 - 11 号 (例:1- 04- 5 号)
实验日期 2023 年 10 月 24 日 实验地点 教学楼 709 调课/补课 否 成绩评定

1 实验目的

1. 研究 RLC 电路的谐振现象。
2. 了解 RLC 电路的相频特性和幅频特性。
3. 用数字存储示波器观察 RLC 串联电路的暂态过程，理解阻尼振动规律。

2 实验仪器与用具

标准电感，标准电容， 100Ω ，标准电阻，电阻箱，电感箱，电容箱，函数发生器，示波器，数字多用表，导线等。

3 实验原理

3.1. 串联谐振

RLC 串联电路如图 1 所示。其总阻抗 $|Z|$ 、电压 u 与电流 i 之间的相位差 φ 、电流 i 分别为

$$|Z| = \sqrt{R^2 + (\omega L - \frac{1}{\omega C})^2} \quad (1)$$

$$\varphi = \arctan \frac{\omega L - \frac{1}{\omega C}}{R} \quad (2)$$

$$i = \frac{u}{\sqrt{R^2 + (\omega L - \frac{1}{\omega C})^2}} \quad (3)$$

式中 $\omega = 2\pi f$ 为角频率， $|Z|$ 、 φ 、 i 都是 f 的函数

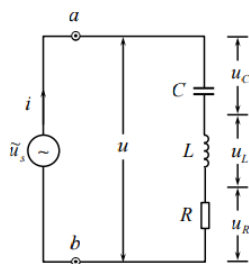


图 1: RLC 串联电路

图 2 (a)、(b)、(c) 分别为 RLC 串联电路的阻抗、相位差、电流随频率的变化曲线。其中图 2 (b) $\varphi - f$ 曲线称为相频特性曲线；图 2 (c) $i - f$ 曲线称为幅频特性曲线，它表示在总电压 u 保持不变的条件下 i 随 f 的变化曲线。相频特性曲线和幅频特性曲线有时统称为频率响应特性曲线。

由曲线图可以看出，存在一个特殊的频率 f_0 ，特点为：(1) 当 $f < f_0$ 时， $\varphi < 0$ ，电流的相位超前于电压，整个电路呈电容性，且随 f 降低， φ 趋近于 $-\frac{\pi}{2}$ ；而当 $f > f_0$ 时， $\varphi > 0$ ，电流的相位落后

于电压，整个电路呈电感性，且随 f 升高， φ 趋近于 $\frac{\pi}{2}$ (2) 随 f 偏离 f_0 越远，阻抗越大，而电流越小。(3) 当 $\omega L = \frac{1}{\omega C}$ ，即

$$\omega_0 = \frac{1}{\sqrt{LC}} \quad f_0 = \frac{1}{2\pi\sqrt{LC}} \quad (4)$$

$\varphi = 0$ ，电压与电流同相位，整个电路呈纯电阻性，总阻抗达到极小值 $Z_0 = R$ ，而总电流达到极大值 $i_m = \frac{u}{R}$ 。这种特殊的状态称为串联谐振，此时角频率 ω_0 称为谐振角频率。在 f_0 处， $i-f$ 曲线有明显尖锐的峰显示其谐振状态，因此，有时称它为谐振曲线。谐振时，有

$$u_L = i_m |Z_L| = \frac{\omega_0 L u}{R}, \quad \frac{u_L}{u} = \frac{\omega_0 L}{R} = \frac{1}{R} * \sqrt{\frac{L}{C}} \quad (5)$$

而

$$u_C = i_m |Z_C| = \frac{u}{RC\omega_0}, \quad \frac{u_C}{u} = \frac{1}{RC\omega_0} = \frac{1}{R} * \sqrt{\frac{L}{C}} \quad (6)$$

令

$$Q = \frac{u_C}{u} = \frac{u_L}{u} = \frac{\omega_0 L}{R} = \frac{1}{RC\omega_0} \quad (7)$$

Q 称为谐振电路的品质因数，简称 Q 值。它是由电路的固有特性决定的，是标志和衡量谐振电路性能优劣的重要的参量。

3.2. 并联谐振

如图 3 所示电路，其总阻抗 $|Z_P|$ 、电压 u 与电流 i 之间的相位差 φ 、电压 u （或电流 i ）分别为

$$|Z_P| = \sqrt{\frac{R^2 + (\omega L)^2}{(1 - \omega^2 LC)^2} + (\omega CR)^2} \quad (8)$$

$$\arctan \frac{\omega L - \omega C[R^2 + (\omega L)^2]}{R} \quad (9)$$

$$u - i |Z_P| = \frac{uR}{u} |Z_P| \quad (10)$$

显然，它们都是频率的函数。当 $\varphi=0$ 时，电流和电压同相位，整个电路呈纯电阻性，即发生谐振。由式 (8) 求得并联谐振的角频率 ω_p 为

$$\omega_p = 2\pi f_p = \sqrt{\frac{1}{LC} - \left(\frac{R}{L}\right)^2} = \omega_0 \sqrt{1 - \frac{1}{Q^2}} \quad (11)$$

式中 $\omega_0 = 2\pi f_0 = \frac{1}{\sqrt{LC}}$, $Q = \frac{\omega_0 L}{R} = \frac{1}{R} \sqrt{\frac{L}{C}}$ ，可见，并联谐振频率 f_p 与 f_0 稍有不同，当 $Q \gg 1$ 时， $\omega_p \approx \omega_0$, $f_p \approx f_0$ 。

图 4 (a)、(b)、(c) 分别为 RLC 并联电路的阻抗、相位差、电流或电压随频率的变化曲线。由 (b) 图 $\varphi-f$ 曲线可见，在谐振频率 $f = f_p$ 两侧，当 $f < f_p$, $\varphi > 0$ ，电流的相位落后于电压，整个电路呈电感性；当 $f > f_p$, $\varphi < 0$ ，电流的相位超前于电压，整个电路呈电容性。

显然，在谐振频率两边区域，并联电路的电抗特性与串联电路时截然相反。由 (a) 图 $|Z_p| - f$ 线和 (c) 图 $i - f$ 曲线可见，在 $f = f_p'$ 处（注意： f_p' 与 f_p 稍有不同）总阻抗达到极大值，总电流达到极小值，而在 f_p' 两侧，随 f 偏离 f_p' 越远，阻抗越小，电流越大。不言而喻，这种特性，与串联电路时完全相反。(c) 图 $u - f$ 曲线为在总电流保持不变的条件下，电感（或电容）两端电压 u 随频率的变化曲线。

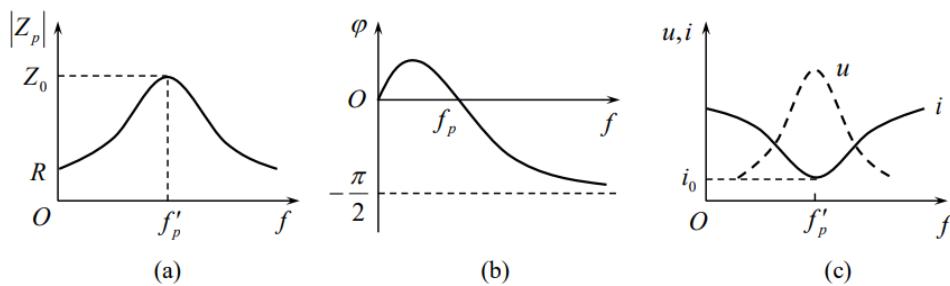


图 4 RLC 并联电路的频率特性 (a) 阻抗特性; (b) 相频特性; (c) 幅频特性

与串联谐振类似, 可用品质因数 Q , 即

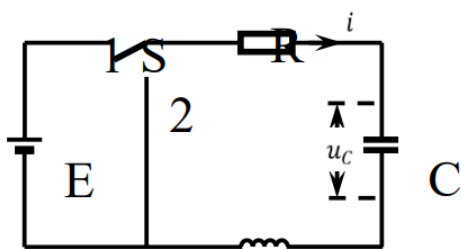
$$Q_1 = \frac{\omega_0 L}{R} = \frac{1}{R\omega_0 C}; Q_2 = \frac{i_C}{i} \approx \frac{i_L}{i}; Q_3 = \frac{f_0}{\Delta f} \quad (12)$$

标志并联谐振电路的性能优劣, 其意义也类同。不过, 此时 $i_L \approx i_C = iQ$, 谐振支路中的电流为总电流的 Q 倍。因此, 有时称并联谐振为电流谐振。

3.3. RLC 电路的暂态过程

电路如图 5。先观察放电过程, 即开关 S 先合向“1”使电容充电至 E , 然后把 S 倒向“2”, 电容就在闭合的 RLC 电路中放电。电路方程为

$$L \frac{di}{dt} + Ri + u_C = 0$$



又将 $i = C \frac{du_C}{dt}$ 代入得

$$LC \frac{d^2 u_C}{dt^2} + RC \frac{du_C}{dt} + u_C = 0$$

根据初始条件 $t = 0, u_C = E, \frac{du_C}{dt} = 0$ 解方程。方程的解分为 3 种情况:

(1) $R^2 < \frac{4L}{C}$ 属于阻尼较小的情况。引入阻尼系数 $\zeta = \frac{R}{2} \sqrt{\frac{C}{L}}$ 后, 对应于 $\zeta < 1$ 。此时方程的解为

$$u_C = \sqrt{\frac{4L}{4L - R^2 C}} E e^{-t/\tau} \cos(\omega t + \varphi)$$

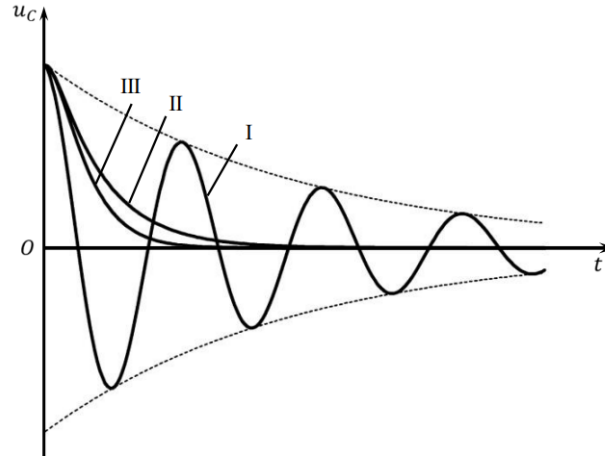
其中时间常量为

$$\tau = 2L/R$$

衰减振动的角频率为

$$\omega = \frac{1}{\sqrt{LC}} \sqrt{1 - \frac{R^2 C}{4L}}$$

U_C 随时间变化的规律如图曲线 I 所示，即阻尼振动状态。此时振动的振幅呈指数衰减。 τ 的大小决定了振幅衰减的快慢， τ 越小，振幅衰减越迅速。



如果 $R^2 \ll \frac{4L}{C}$ ，通常是 R 很小的情况，振幅的衰减很缓慢

$$\omega \approx 1/\sqrt{LC} = \omega_0$$

此时近似为 LC 电路地自由振动， ω_0 为 $R=0$ 时 LC 回路的固有频率。衰减振动的周期

$$T = 2\pi/\omega \approx 2\pi\sqrt{LC}$$

(2) $R^2 > \frac{4L}{C}$ ，即阻尼系数 $\zeta > 1$ 。对应于过阻尼状态，其解为

$$u_C = \sqrt{\frac{4L}{R^2 C - 4L}} E e^{-\alpha t} \sinh(\beta t + \varphi) \quad \alpha = \frac{R}{2L}, \quad \beta = \frac{1}{\sqrt{LC}} \sqrt{\frac{R^2 C}{4L} - 1}$$

式所表示的 $u_C - t$ 的关系曲线见图 6 中的曲线 II，它是以缓慢的方式逐渐回零。可以证明，若 L 和 C 固定，随电阻 R 的增长， u_C 衰减到零的过程更加缓慢。(3) $R^2 = \frac{4L}{C}$ ，即阻尼系数 $\zeta = 1$ 。对应于临界阻尼状态，其解为

$$u_C = E \left(1 + \frac{t}{\tau} \right) e^{-t/\tau}$$

其中 $\tau = 2 / \omega$ 。它是从过阻尼到阻尼振动过渡的分界点， $u_c -$ 的关系见图 6 中的曲线 III。对于充电过程，即开关 S 先在位置“2”，待电容放电完毕，再把 S 倒向“1”，电源 E 将对电容充电，于是电路方程变为

$$LC \frac{d^2 u_c}{dt^2} + RC \frac{du_c}{dt} + u_c = E$$

初始条件为 $t = 0$ 时， $u_c = 0$ ， $\frac{du_c}{dt} = 0$ 。方程解为

$$R^2 < \frac{4L}{C}, \quad u_c = E \left[1 - \sqrt{\frac{4L}{4L - R^2 C}} e^{-t/\tau} \cos(\omega t + \varphi) \right]$$

$$R^2 > \frac{4L}{C}, \quad u_c = E \left[1 - \sqrt{\frac{4L}{R^2 C - 4L}} e^{-\alpha t} \sinh(\beta t + \varphi) \right]$$

$$R^2 = \frac{4L}{C}, \quad u_c = E \left[1 - \left(1 + \frac{t}{\tau} \right) e^{-t/\tau} \right]$$